

节杆菌 9-2 对皮质甾类 C_{20} -酮基的还原作用

II. 转化 $3\beta, 17\alpha, 21$ -三羟基- 5α -孕甾-20-酮

马树恒 法幼华

(中国科学院微生物研究所, 北京)

根据多项物理性质, 包括熔点、比旋值、分子旋光度、紫外光谱、红外光谱、核磁共振、质谱等的测定, 确定节杆菌 (*Arthrobacter*) 9-2 生物转化 $3\beta, 17\alpha, 21$ -三羟基- 5α -孕甾-3-酮 (I) 所生成的产物 (II) 的分子结构为 $17\alpha, 20, 21$ -三羟基-孕甾-1, 4-二烯-3-酮, 其中 C_{20} -羟基的构型是 β -型。并讨论了该菌转化 (I) 的可能途径。

关键词 节杆菌 9-2; 皮质甾类; 还原; C_{20} - β -羟基

微生物还原甾体化合物分子结构中 C_{20} -酮基形成相应羟基的现象极为普遍, 所形成的羟基构型与转化用的微生物种类有关。极长红酵母 (*Rhodotorula longissima*) 还原孕酮 (Progesterone) 的 20-酮基为相应的 α -构型羟基^[1], 而薄青霉 (*Penicillium lilacinum*) 及浅紫色链霉菌 (*Streptomyces lavendulae*) 还原同一甾体却形成相应的 β -构型羟基^[2-3], 粘性红酵母 (*Rhodotorula glutinis*) 还原 Reichstein 的化合物 “S” 及其 1-脱氢衍生物后的 20-羟基都是 α -构型^[4], 而球形分枝杆菌 (*Mycobacterium globiforme*) 和简单棒状杆菌 (*Corynebacterium simplex*) 还原上述两种化合物所产生 20-羟基为 β -构型^[5-6]。

前文^[7] 曾报道节杆菌 (*Arthrobacter*) 9-2 能还原 $3\beta, 17\alpha, 21$ -三羟基- 5α -孕甾-20-酮 (I) 的 20-酮基为相应的 20-羟基 (II)。本文将报道该菌积累 (II) 的条件, 并对其结构及 20-羟基的构型进行鉴定。

材料与方法

(一) 试验菌种

节杆菌 9-2^[8]。

(二) 菌培养及甾体转化

培养基组成、培养方法及转化方法基本同前^[8]。甾体底物浓度为 0.1%, 转化 72 小时。在积累产物的试验中, 用 2L 摆瓶装 600ml 培养基。

(三) 霉体底物

$3\beta, 17\alpha, 21$ -三羟基- 5α -孕甾-20-酮 (I) 由南宁第二制药厂提供。

(四) 产物的分析方法

定性分析同前^[7]。薄层层析后分别用 2, 4-二硝基苯肼 (DNPN) 和红四氮唑 (TPTZ) 显色。定量分析是将样品层析后, 将在紫外检示灯下观察到的吸收斑点刮下, 收集在小试管中, 加 5ml 95% 乙醇, 振摇 1 分钟, 离心, 取上清液于 244 nm 波长处测定吸光度。

(五) 产物 (II) 的提取与分离

转化结束后, 发酵液用醋酸丁酯抽提三次, 将酯层合并, 用 5% NaHCO₃ 水溶液洗涤, 用无水 Na₂SO₄ 脱水过夜, 减压下除去溶剂得固状物, 用薄层层析分离主要产物 (II), 用少量醋酸乙酯和石油醚混合液 (1:3, V/V) 洗, 再用醋酸乙酯重结晶, 得白色粉状物, 供分析用。

(六) 产物 (II) 结构及其 20-羟基构型的鉴

本文于 1985 年 10 月 22 日收到。

定

1. 按常规方法测定产物(II)的熔点、比旋值、紫外光谱、红外光谱、核磁共振、质谱等项物理性质, 确定(II)的分子结构。

2. 按 Takahashi 和 Uchibori 的方法^[4], 用醋酸酐-吡啶处理产物(II), 制成双酯衍生物(VI)后, 进行上述各项物理性质的测定, 确定(VI)的分子结构。

3. 根据 Fieser 和 Fieser 的方法^[5], 以氯仿为溶剂, 分别测定产物(II)及其双酯衍生物(VI)的分子旋光度, 以确证产物(II)分子结构中 20-羟基的构型。

结果与讨论

(一) 抑制剂的选择

节杆菌 9-2 具有很强的降解甾核的能力, 但必须添加抑制剂才能在发酵液中积累产物^[3]。为了选择积累产物(II)的适宜抑制剂和添加浓度, 进行了下述试验。在

投加甾体底物(I)进行转化的同时, 分别加入不同的抑制剂, 52 小时后测定各种抑制剂对转化的影响(表 1)。结果表明, 添加 0.05% 的硫酸钴, 对抑制 9-2 菌株降解甾核有明显效果。发酵液中积累大量产物(II), 加 0.075% 硫酸镍或 8-羟基喹啉也有一定的抑制作用。 α , α' -联吡啶和邻菲绕啉无抑制作用, 所试底物转化后全部被分解。

(二) pH 对产物(II)积累的影响

取生长 24 小时的菌液, 经离心收获菌体, 用 0.15M 不同 pH 的磷酸缓冲液分别配制不同 pH 值的菌悬液, 并在其中投加甾体进行转化, 24 小时后测定产物(II)的相对生成量。图 1 表明, 9-2 菌株还原(I)生成(II)的最适 pH 在 6—7 之间, 这一性质与商品(Boehringer, Mannheim) 20 β -羟基甾体脱氢酶(20-HSDH) 的最适 pH 近

表 1 各种抑制剂对转化的影响
Table 1 Effect of inhibitor on bioconversion

| 抑制剂 Inhibitor | 浓度(%) Concentration | 甾体 Steroid | |
|---|------------------------|---------------|--------|
| | | II | I |
| 不加 None | 0 | — | — |
| 硫酸钴 CoSO_4 | 0.05 0.075 | ++++ +++ | — — |
| 硫酸镍 NiSO_4 | 0.05 0.075 | — +++ | — — |
| 8-羟基喹啉 8-hydroxyquinoline | 0.05 0.075 | — ++ | — — |
| α , α' -联吡啶 α , α' -bipyridine | 0.05 0.075 | — — | — — |
| 邻菲绕啉 o-phenanthroline | 0.05 0.075 | — — | — — |

似^[10]。

(三) 转化过程的分析

分析测定了五天内不同转化时间的样品。发现在这一过程中共出现四种转化产物 (II—V)。根据定性分析用 DNPN 显色的结果, 初步证明产物 (III) 和 (V) 都是 C₃-脱氢的衍生物, (II) 和 (IV) 都是 C_{1,4}-脱氢的衍生物。用 TPTZ 显色, 推测 (II) 和 (V) 的 20-酮基已被还原, 这四种甾体产物的生成情况见图 2。由图 2 推测,

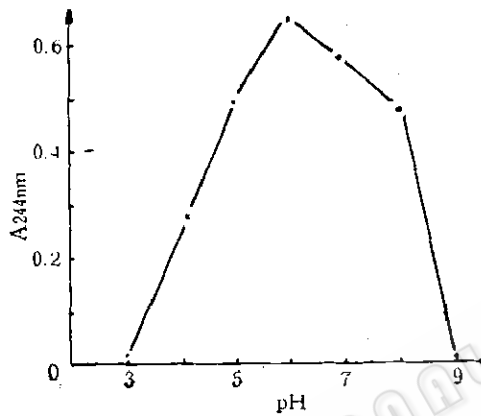


图 1 pH 对转化的影响

Fig. 1 Effect of pH on bioconversion

甾体底物 (I) 在节杆菌 9-2 的作用下, 首先氧化 C₃-羟基为酮基, 并导入 C₄-双键形成 $\Delta^{4-}3$ -酮基甾体 (III), 随后进一步脱氢成为 $\Delta^{1,4-}3$ -酮基甾体 (IV), 接着又由该菌的 20-羟基还原酶还原 (IV) 的 20-酮基为羟基生成 20-羟基- $\Delta^{1,4-}3$ -酮基甾体 (II)。这是该菌在有抑制剂的情况下, 生物转化甾体底物 (I) 的主要途径。另外, 在这一转化过程中, 有一部分中间产物 (III) 的 20-酮基先被还原成 20-羟基形成 20-羟基- $\Delta^{4-}3$ 酮甾体 (V), 此化合物虽生成量不多, 但比较稳定, 它能否进一步脱氢转化成 (II), 还是与 (II) 在发酵液中保持动态平衡, 尚待研究。图 3 是节杆菌 9-2 生

物转化 (I) 的可能途径。

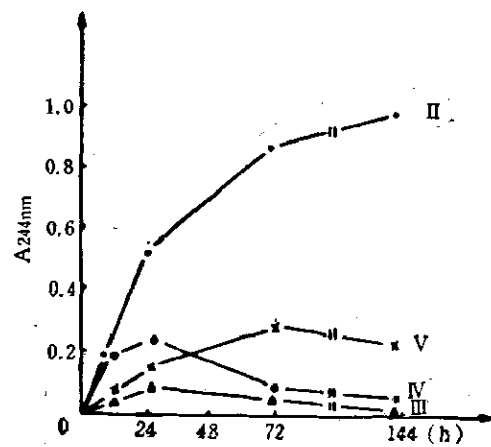


图 2 节杆菌 9-2 转化 (I) 的过程
Fig. 2 Time course of bioconversion of (I)
by *Arthrobacter* 9-2

(四) 产物 (II) 结构的鉴定

产物 (II) 的各项物理常数如下:

m.p. 192—194°C; $[\alpha]_D^{20} + 19^\circ$; ($C = 1$, CHCl_3); $\text{UV} \lambda_{\text{max}}^{\text{EtOH}} (\text{nm}) 246, \epsilon = 15, 200$; $\text{IR} \nu_{\text{max}}^{\text{KBr}} (\text{cm}^{-1}) 3400 (-\text{OH}), 1664, 1600$ ($\Delta^{1,4} - 3\text{C} = 0$); $\text{MS} (m/e) \text{M}^+ + 1 347, 328 (\text{M}-\text{H}_2\text{O}), 310 (\text{M}-2\text{H}_2\text{O}), 285 (\text{M}-\text{CH}_2\text{OH}-\text{CHOH}); 267 (\text{M}-\text{CH}_2\text{OH}-\text{CHOH} \cdot \text{H}_2\text{O}); ^1\text{HNMR} \delta_{\text{Me}, \text{Si}}^{\text{CDCl}_3} (\text{ppm}) 0.85 (3\text{H}, s, \text{C}_{18}-\text{CH}_3), 1.21 (3\text{H}, s, \text{C}_{19}-\text{CH}_3), 3.80 (3\text{H}, s, 20, 21-\text{CH}_2\text{OAC}-\text{CHOAC}), 6.04 (1\text{H}, s, \text{C}_4-\text{H}), 6.20 (1\text{H}, d, J 10Hz, \text{C}_2-\text{H}), 7.06 (1\text{H}, d, J 10Hz, \text{C}_1-\text{H})$

产物 (II) 经醋酸酐-吡啶处理后, 得双酯衍生物 (VI), 各项物理常数的测定结果如下:

m.p. 176—178°C; $[\alpha]_D^{20} + 112^\circ$; ($C = 0.5$, CHCl_3); $\text{UV} \lambda_{\text{max}}^{\text{EtOH}} (\text{nm}) 244, \epsilon = 18,000$; $\text{IR} \nu_{\text{max}}^{\text{KBr}} (\text{cm}^{-1}) 3410 (\text{OH}), 1660, 1615, 1600$ ($\Delta^{1,4} - 3\text{C} = 0$), 1735, 1245, 1230 (20, 21-OAC); $\text{MS} (m/e) \text{M}^+ 430, 412$

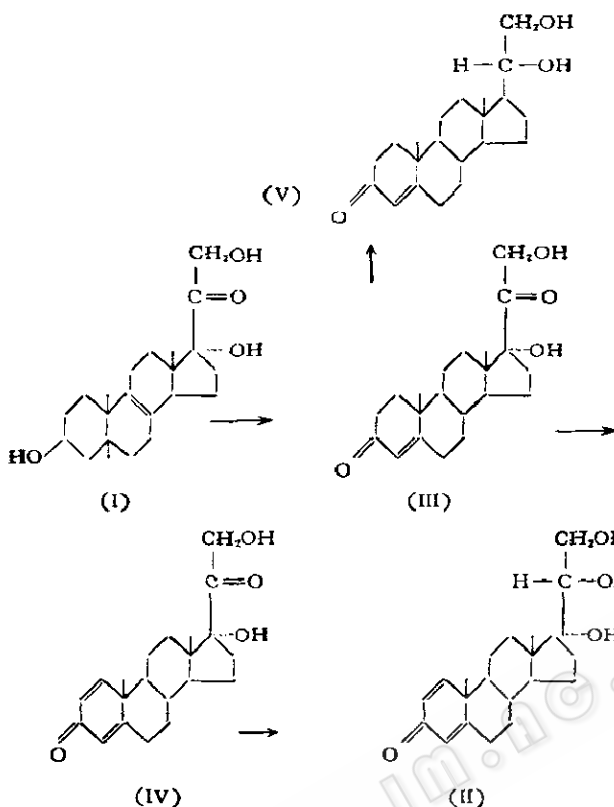


图3 节杆菌 9-2 转化底物 (I) 的可能途径
Fig.3 Possible bioconversion pathway of substrate (I) by *Arthrobacter* 9-2

(M-H₂O), 371 (M-CH₂-C=O), 311
 $\text{O} \quad \text{O}$
 $\text{||} \quad \text{||}$
 (M-CH₂C-OH · CH₃-C-O), 267
 (M-CH₂OAC-CH₂OAC · H₂O); ¹H NMR
 $\delta_{\text{Me,Si}}^{\text{CDCl}_3}$ (ppm) 0.78 (3H, s, C₁₈-CH₃), 1.18
 (3H, s, C₁₉-CH₃), 2.00, 2.08 (6H, two
 s, 20, 21-COCH₃), 4.05—4.60 (2H, q,
 21-CH₂OAC), 5.34 (1H, q, J 4Hz, 20 α -
 H), 6.04 (1H, s, C₄-H), 6.20 (1H, d, J
 10Hz, C₁-H), 7.06 (1H, d, J 10Hz, C₁-
 H)。

通过上述物理常数的分析，证明产物 (II) 是底物 (I) 的 20-羟基- Δ^{14} -3-酮基甾体，其分子结构为 17 α , 20, 21-三羟基-孕甾-1, 4-二烯-3-酮基。酯化后的化合物

(VI) 是产物 (II) 的 20, 21-二酯衍生物，其分子结构为 17 α -20, 21-三羟基-孕甾-1, 4-二烯-3-酮-20, 21-醋酸酯。

根据分子旋光度测定结果，产物 (II):
 $M_D^{\text{Alcohol}} = +67.1^\circ$, 二酯化合物 (VI):

$M_D^{\text{Acetate}} = +481.6^\circ$,

确证产物 (II) 的 C₂₀-羟基是 β -构型。

参 考 文 献

- [1] Chang, V. M. and D. R. Idler: *Can. J. Biochem. Physiol.*, 39(87): 1277—1285, 1961.
- [2] Sebek, O. K. et al.: *J. Bacteriol.*, 83(67): 1327—1331, 1962.
- [3] Fried, J. et al.: *J. Am. Chem. Soc.*, 75: 5764—5765, 1953.
- [4] Iakhashi, T. and Y. Uchibori: *Agr. Biol. Chem. (Japan)*, 26(2): 89—97, 1962.
- [5] Skryabin, H. K. et al.: *Dokl. Akad. Nauk. USSR*, B215: 737—739, 1974.
- [6] Sutter, D. et al.: *J. Org. Chem.*, 22: 578—579,

- 1957.
- [7] 法幼华、马树恒: 微生物学报, 25(1): 89—90,
1985.
- [8] 法幼华、徐诗伟: 微生物学报, 20(2): 185—190,
1980.
- [9] Fieser, L. F. and M. Fieser: "Steroids" Marauzeu, Chapt. 19, p. 614, 1959.
- [10] Cremonesi, P. et al.: Biozsch. Bioeng., 17(8):
1101—1108, 1975.

MICROBIAL REDUCTION OF C₂₀-KETO OF CORTICOSTEROIDS BY ARTHROBACTER 9-2

II. Bioconversion of 3 β , 17 α , 21-Triol-5 α -Pregnane-3-one

Ma Shuheng Fa Youhua

(Institute of Microbiology, Academic Sinica, Beijing)

According to the determination of various physical characteristics, including melting point, rotational analysis and spectrum analysis (UV, IR, ¹HNMR and MS), it was confirmed that the molecular structure of product (II) which formed from bioconversion of 3 β , 17 α , 21-triol-5 α -pregnan-20-one (I) by *Arthrobacter* 9-2 is 17 α , 20, 21-triol-pregnene-1,4-dien-3-one and the configuration of the hydroxyl at

C₂₀-position is β -form. A probable bioconversion pathway of (I) by *Arthrobacter* 9-2 was discussed.

Key words

Arthrobacter 9-2; Corticosteroids; Reduction; C₂₀- β -hydroxyl